



بررسی توزیع مونازیت و عناصر نادر خاکی در آبرفت‌های مروست، بیزد، ایران

محمدحسین قلعه نویی^{*}، امیرحسین کوهساری*

دانشکده معدن و متالورژی دانشگاه بیزد، بیزد، ایران

(دریافت مقاله: ۹۲/۴/۶، نسخه نهایی: ۹۲/۸/۲۲)

چکیده: تعداد ۵۰ چاهک به روش دستی در منطقه‌ای در جنوب غرب مروست در آبرفت‌ها حفاری شده‌اند. مقدار مونازیت در این نمونه‌ها از ۵۰ تا ۵۲۵ گرم در تن به روش کانی سنگین به دست آمده است. تجزیه‌ی نمونه‌های مت مرکز مونازیت و نمونه‌های آبرفت به روش ICP-MS و بهنجارسازی برخی از داده‌ها با مقدار عناصر در پوسته‌ی فوقانی و کندربیت، نشان داد که مونازیت مروست از همه‌ی عناصر نادر خاکی به ویژه عناصر نادر خاکی سبک غنی شدگی دارد. سنگ مادر مونازیت شیل های سیاه تریاس بالابی است که به طور متناوب با ماسه سنگ‌های آهکی، آهک و گاه کنگلومرا قرار گرفته‌اند و گرهک‌های مونازیت به صورت پراکنده در شیل‌ها دیده شده‌اند. هوازدگی و فرسایش چنین سنگ‌هایی سبب آزاد شدن دانه‌های مقاوم‌تر مونازیت و مرکز آن‌ها در رسوب‌های دشت جوان و رودخانه‌ای شده است. نقشه‌های هم عیار مونازیت در عمق‌های مختلف از عمق ۱ تا ۶ متری نشان داد که شدیدترین و گسترده‌ترین بهنجاری‌ها در عمق یک متری است و با افزایش عمق شدت و گسترش بهنجاری‌ها کاسته شده است، به طوری که عمیق‌ترین بهنجاری، ۵ متر ضخامت دارد. همچنین با یک مقایسه‌ی ساده بین حضور بهنجاری و عمق سنگ کف (یا ضخامت آبرفت) استباط شده است که حضور و عمق بهنجاری ارتباط مستقیمی با ضخامت آبرفت و یا عمق سنگ کف دارد.

واژه‌های کلیدی: شیل های سیاه؛ عناصر نادر خاکی؛ کانی سنگین؛ بهنجارسازی؛ مروست؛ مونازیت.

شده که ۱۵٪ آن مونازیت و بقیه کانی‌های سنگین عبارتند از زیرکن، روتیل و ایلمنیت [۲]. بارگرد (۱۹۹۱)، پژوهش‌های گسترده‌ای روی پلاسرهای حاوی قلع و عناصر نادر خاکی در آبرفت‌های رودخانه‌ی ری در بخش‌های شمالی آلاسکا انجام داده است. او در گزارشی مفصل ادعا می‌کند که کاسیتیریت از هوازده شدن پلوتونی‌های آهکی-قلیایی که به صورت باتولیتی رخمنون دارند، ریشه می‌گیرد. این پلاسراها شامل مقادیری طلا و عناصر نادر خاکی به صورت کانی‌های مونازیت و زینوتایم همراه با کاسیتیریت هستند [۳].

پی جویی ژئوشیمی ناحیه‌ای در محور بیزد-سبزواران منجر به شناسایی کانی مونازیت در رسوب‌های آبرفتی جنوب مروست شده است. تجزیه‌ی کانی مونازیت، وجود مقادیر زیادی از

عناصر نادر خاکی به دو گروه سبک (LREE) شامل La, Ce و سنگین (HREE) شامل Tb, Pr, Nd, Pm, Sm, Eu, Gd Dy, Ho, Tm, Yb, Er, Lu, Y عناصر استفاده‌های زیادی از جمله ابررساناهای مواد اپتوالکترونیک، کاتالیست‌ها و غیره می‌شود. از جمله کانی‌های مرکز دهنده عناصر نادر خاکی سبک، مونازیت و باستاسیت است [۱].

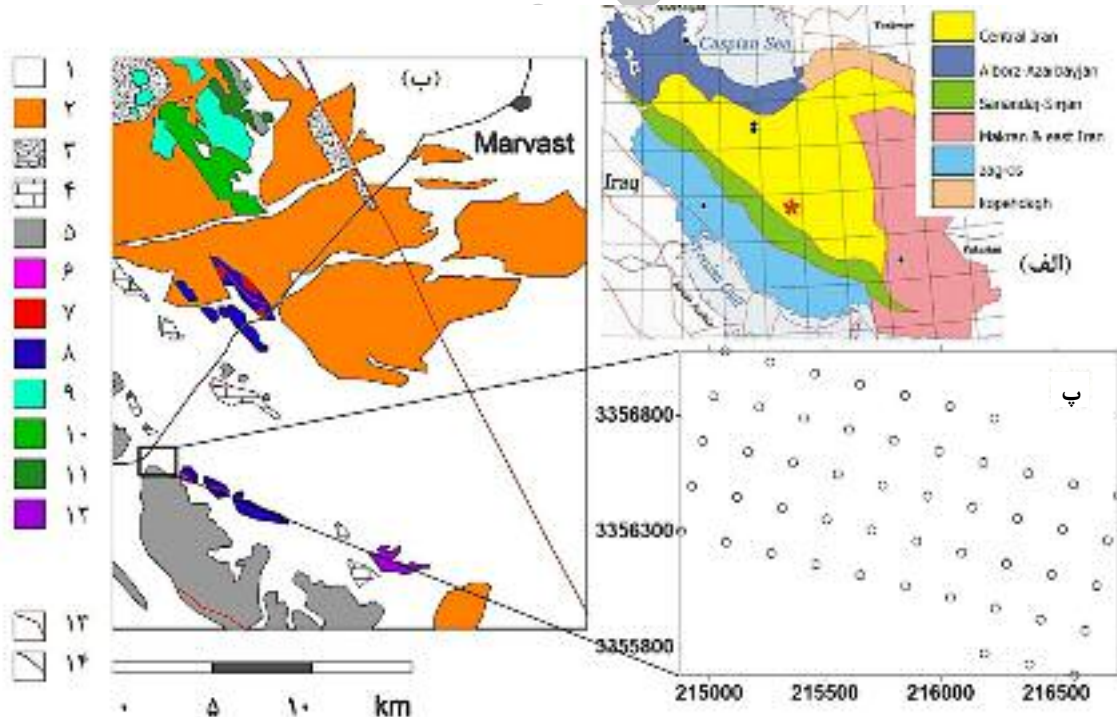
باب سیل و همکاران (۲۰۱۲)، بررسی‌های زیادی روی کانسراهای پلاسرا و یجینیا انجام داده‌اند. در پلاسراهای ویرجینیا مقدار ۲٪ کانی سنگین در ماسه‌های بادی اندازه‌گیری

* نویسنده مسئول، تلفن: ۰۳۵۱ (۶۲۲۵۷۷۰)، نما بر: kohsary@yahoo.com

مونازیت در آبرفت مورد بررسی قرار گرفتند. هدف از این بررسی، شناسایی بیهنجاری‌های مونازیت و چگونگی گسترش آن‌ها در جهت‌های عمق و طول و عرض است.

زمین‌شناسی

منطقه‌ی مورد بررسی در شرق زون سنندج- سیرجان و در مرز زون ایران مرکزی واقع شده است (شکل ۱). این منطقه اغلب سنگ‌های رسوی با روند عمومی شمال غربی- جنوب شرقی است و قدیمی‌ترین سنگ‌ها به پالئوزوئیک وابسته‌اند که سنگ پی را تشکیل داده و اغلب دگرگون شده‌اند؛ این سنگ‌ها شامل متادولومیت و متاریولیت است. واحدهای شیستی مربوط به پالئوزویک فوقانی در قسمتهای شمالی گستره شامل سریسیت- کوارتز، آلبیت، آمفیبولیت، گارنت و آهک شیست قابل مشاهده است. واحدهای دیگری عبارتند از شیل و آهک چرتی تیره رنگ پرمین، دیاباز تریاس زیرین، دولومیت‌های تریاس میانی، شیل، ماسه سنگ خاکستری- سیاه ژوراسیک و سنگ‌های رسوی نئوژن است [۵].



شکل ۱ نقشه‌ی زمین‌شناسی ایران (الف)؛ نقشه‌ی زمین‌شناسی مروست (ب)؛ واحدهای شناسی به ترتیب سن: ۱- آبرفت جوان- ۲- آبرفت قدیمی تر کواترنری، ۳- شن و قله سنگ نئوژن، ۴- سنگ آهک و مارن نئوژن، ۵- شیل و ماسه سنگ خاکستری ژوراسیک، ۶- دولومیت تریاس، ۷- دیاباز تریاس، ۸- شیل و آهک چرتی پرمین، ۹- سریسیت- کوارتز، آلبیت شیست پالئوزوئیک، دسترسی؛ موقعیت چاهک‌ها (پ). ۱۰- آمفیبولیت و گارنت شیست پالئوزوئیک، ۱۱- کالک شیست پالئوزوئیک، ۱۲- متاریولیت پالئوزوئیک، ۱۳- متادولومیت- متاریولیت پالئوزوئیک، ۱۴- گسل‌ها؛ و (پ) موقعیت چاهک‌ها.

عناصر نادر خاکی را در این کانی به ثبت رساند که از میان آن- ha عناصر نادر خاکی سبک به خصوص Ce, Nd و Eu قابل توجه‌هایند [۴]. در ادامه بررسی‌ها، مناطقی برای حفر چاهک شناسایی و پیشنهاد شد. آماده سازی و بررسی نمونه‌های کانی سنگین بیهنجاری‌های خوبی از مونازیت را تا عمق ۶ متری در رسوب‌های آبرفتی نشان می‌دهد.

گستره‌ی مورد بررسی، در جنوب استان یزد و در ۲۵ کیلومتری جنوب غربی مرdest قرار دارد. این گستره با مساحت تقریبی ۲ کیلومتر مربع دشت آبرفتی مونازیت‌دار و سنگ‌های رسوی تریاس بالایی- ژوراسیک پایینی (سنگ میزبان مونازیت) را در بر می‌گیرد (شکل ۱). آب و هوای منطقه خشک و نیمه خشک است و مقدار میانگین بارندگی سالانه کمتر از ۲۰۰ میلیمتر و دارای پوشش گیاهی ضعیف است.

در این منطقه ۵۰ چاهک با ابعاد شبکه‌ای ۲۰۰ در ۲۰۰ متر طراحی شد که به استثنای ۶ چاهک حفر نشده، ۴۴ چاهک دیگر تا سنگ کف (حداکثر ۸ متر) در مناطق آبرفتی حفاری شده‌اند و در مجموع ۱۶۳ نمونه برای شناسایی عیار

اپیدوت، سریسیت، آمفیبول، قطعات شیلی، گارنت و پیروکسن در بخش AV تمرکز یافت که برای عیارسنجدی در زیر میکروسکوپ از هم جدا شده و سپس با ترازوی حساس و دقیق توزین شدند. برای شناسایی دقیق مونازیت و کانی‌های همراه از روش‌های کمکی پیشرفت‌های مانند میکروسکوپ الکترونی، XRD، طیف‌سنجدی جرمی پلاسمای جفتی القایی- ساییدگی (LA-ICPMS) و برش‌های نازک استفاده شد [۶].

برای شناسایی مقدار عناصر کمیاب در مونازیت‌ها و در نمونه‌های آبرفتی، در هر چاهک نمونه‌های عمق‌های مختلف را با هم مخلوط کرده و به روش ربع کردن متوالی یک نمونه استخراج شد. سپس این نمونه را نصف کردیم و نیمی از آن را برای عیارسنجدی مونازیت و نیم دیگر برای عیارسنجدی عناصر نادر خاکی در آبرفت به کار گرفته شد. نهایتاً این نمونه‌ها برای آنالیز به روش ICP-MS آماده‌سازی شدند. جدول ۱ و ۲، نمونه‌های آنالیز شده برای مونازیت و آبرفت را نشان می‌دهد، مقادیر کلارک عناصر نادر خاکی در پوسته‌ی فوقانی نیز دیده شد [۸]. چنانکه در جدول ۲، دیده می‌شود، مقادیر عناصر نادر خاکی تقریباً برابر و کمتر از مقدار پوسته‌ی فوقانی است.

برداشت

برای اطمینان از رفتار و الگوی پراکندگی عناصر نادر خاکی در پلاسراها و مونازیت‌ها، نمونه‌های به دست آمده از چاهک‌های ۱، ۵، ۱۵، ۲۵، ۳۶، ۴۲ و ۵۰ به صورت لگاریتم حاصل تقسیم بر مقدار عناصر در پوسته‌ی فوقانی [۸] و کندریت (نمونه شماره ۱۲ آپولو) [۹] بررسی شدند (به این کار اصطلاحاً بهنجارسازی گفته می‌شود).

شکل ۲ (الف)، نمودار بهنجارسازی عناصر نادر خاکی در آبرفت نسبت به کندریت آورده شده است. روند عمومی توزیع عناصر به گونه‌ای بوده اند که هرچه به سمت عناصر نادر خاکی سنگین‌تر پیش می‌رویم، ضربی بهنجارسازی با شبیه تندی کمتر می‌شود. عناصر نادر خاکی سبک غنی‌شدگی بیشتری نشان می‌دهند، هر چند مقدار Eu نسبت به عناصر نادر خاکی سبک دیگر کمی تهی شدگی نشان می‌دهد. در شکل ۲ (ب)، که بهنجارسازی عناصر نادر خاکی موجود در مونازیت نسبت به کندریت است، روند عمومی توزیع، خیلی شبیه شکل ۲ (الف) بوده با این تفاوت که مقدار بهنجارسازی بسیار بیشتر است.

مونازیت‌های موجود در رسوب‌های دشت جوان حاصل هوازدگی سنگ‌های اطراف و بالادست‌اند. بررسی‌های کانی سنگین، لیتوژئوشیمیایی و سنگ‌شناسی نشان می‌دهد که واحدهای شیلی، شیل‌های سیاه و شیل‌های آهکی حاوی گرهک‌های پراکنده‌ای از مونازیت‌اند [۶]. شکل‌گیری مونازیت و غنی‌شدگی عناصر نادر خاکی در شیل‌های سیاه خاستگاه دیاژنتیکی دارد؛ مونازیت حاصل فاز دیاژنتیک پسین (پس از متراکم شدن رسوب‌ها) است و عناصر نادر خاکی از واکنش آب‌های گرم دریایی با بازالت‌های قلیایی در عمق به وجود آمده اند (فاز کششی سمیرین پیشین در زون سنتندج- سیرجان با فوران بازالت قلیایی همراه بوده است) و سپس به کف دریا راه می‌یابد. عناصر نادر خاکی موجود در آب دریا بلاعاقله به وسیله کانی‌های رسی و هیدروکسیدهای آهن و منگنز از آب دریا جذب شده و در شرایطی که رسوب گذاری تخریبی به کمترین میزان می‌رسد، تنهشین شدند [۷].

روش بررسی

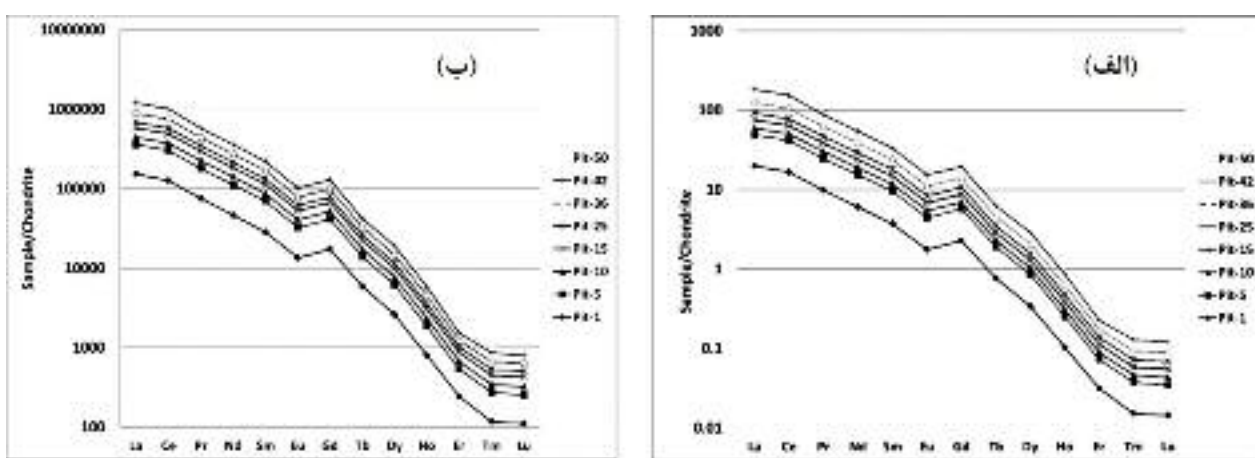
در منطقه‌ی مورد بررسی تعداد ۵۰ چاهک به روش حفر دستی تا سنگ کف با ابعاد شبکه‌ی ۲۰۰ در ۲۰۰ متر طراحی شد. چاهک‌های ۱۶، ۲۱، ۲۲، ۲۶، ۳۱ و ۳۲ به دلیل قرار گرفتن روی رخمنون سنگی، حفاری نشده‌اند. از آنجا که چاهک‌های یاد شده به روش دستی حفر شده‌اند، محیطی به شعاع ۵ متر در اطراف چاهک تمیز شده و سپس مواد حاصل از حفاری به صورت کپه‌های مجزا- که هر یک مربوط به عمق یک متر است- به صورت مارپیچی در اطراف چاه قرار داده شدند. برای هر کپه از طریق مخروط سازی و ربع کردن‌های متوالی، نمونه‌ای به وزن ۱۵ کیلوگرم حاصل شد و جمعاً ۱۶۳ نمونه (کپه) برداشت شدند. نمونه‌ها بدون خردایش از الک ۲ میلیمتری در داخل آب سرنده شدند و جزء کمتر از ۲ میلیمتر گل شویی شد. در مرحله بعد نمونه‌ها با محلول سنگین (برموفرم) از هم جدا سپس با آهنربای دستی با بارهای مغناطیسی شدید (AA) کانی‌های مغناطیسی مانند مگنتیت جدا شدند. علاوه بر کانی‌های دارای خاصیت مغناطیسی شدید، کانی‌های دارای خاصیت مغناطیسی متوسط (AV) و کانی‌های نامغناطیسی مانند آپاتیت، زیرکن، روتیل، سلسیت، کوارتز و کلسیت نیز از هم جدا شدند. مونازیت به همراه کانی‌های پیریت هماتیتی شده، هماتیت،

جدول ۱ عیار عناصر نادر خاکی در مونازیت (گرم در تن) به همراه میانگین عیار عناصر در پوسته فوقانی.

REE	Ce	La	Nd	Pr	Sm	Eu	Gd	Dy	Er	Ho	Lu	Tb	Tm
Pit-1	۱۱۵۰۰	۵۱۸۰۰	۲۹۷۰۰	۹۱۲۰	۴۵۲۰	۹۸۳	۷۸۳	۴/۴۸	۴/۶۹	۷۶/۳	۵۵۶۰	۲۷۷	۷۲/۳
Pit-2	۱۲۷۰۰	۵۷۸۰۰	۲۲۳۰۰	۹۸۶۰	۴۷۲۰	۱۰۴۰	۸۴۸	۱/۵۴	۳/۷۵	۹۶/۳	۵۹۳۰	۲۹۲	۰/۷/۴
Pit-3	۱۵۴۰۰	۶۹۶۰۰	۳۸۱۰۰	۱۱۶۰۰	۵۵۱۰	۱۲۲۰	۹۹۸	۲/۶۲	۴/۸۹	۹۱/۴	۶۹۳۰	۳۴۶	۸۶/۴
Pit-4	۲۰۲۰۰	۹۰۴۰۰	۴۹۶۰۰	۱۵۱۰۰	۷۱۰۰	۱۵۹۰	۱۲۶۰	۱/۷۲	۱۱۲	۷۶/۵	۹۱۲۰	۴۳۸	۰/۲/۶
Pit-5	۱۶۱۰۰	۶۹۹۰۰	۴۱۹۰۰	۱۲۵۰۰	۶۲۳۰	۱۳۸۰	۱۰۷۰	۷/۵۸	۴/۹۲	۸۵/۴	۸۱۱۰	۳۷۸	۰/۶/۵
Pit-6	۱۹۶۰۰	۸۶۴۰۰	۴۹۳۰۰	۱۵۰۰۰	۷۱۷۰	۱۶۰۰	۱۲۶۰	۹/۶۹	۱۱۱	۶/۵	۹۳۰۰	۴۴۱	۹۵/۵
Pit-7	۱۲۴۰۰	۵۵۰۰۰	۲۲۹۰۰	۹۹۹۰	۴۹۹۰	۱۱۰۰	۸۵۳	۱/۴۹	۱/۷۵	۹۳/۳	۶۳۱۰	۲۹۹	۰/۷/۴
Pit-8	۱۲۸۰۰	۵۷۱۰۰	۲۴۴۰۰	۱۰۵۰۰	۵۱۳۰	۱۱۳۰	۸۸۹	۴/۵۱	۷۹	۰/۸/۴	۶۵۴۰	۳۰۶	۳/۴
Pit-9	۱۱۵۰۰	۵۱۷۰۰	۳۰۷۰۰	۹۳۰۰	۴۵۲۰	۹۹۳	۷۸۵	۶/۴۵	۶/۶۹	۵۴/۳	۵۷۴۰	۲۷۱	۷۷/۳
Pit-10	۶۵۱۰	۲۹۱۰۰	۱۸۶۰۰	۵۷۴۰	۲۶۷۰	۶۰۸	۴۰۵	۲۷	۹/۳۹	۴۵/۲	۳۴۱۰	۱۵۹	۳۱/۲
Pit-11	۱۶۰۰۰	۷۳۲۰۰	۳۹۷۰۰	۱۲۲۰۰	۵۷۹۰	۱۳۰۰	۱۰۲۰	۴/۰۶	۶/۸۹	۷۳/۴	۷۴۵۰	۳۵۵	۸۱/۴
Pit-12	۱۷۳۰۰	۷۳۹۰۰	۴۷۴۰۰	۱۳۹۰۰	۷۶۸۰	۱۶۵۰	۱۱۸۰	۶۴	۱/۱	۶۵/۵	۹۷۸۰	۴۲۵	۳۸/۵
Pit-13	۲۰۹۰۰	۹۰۳۰۰	۵۱۸۰۰	۱۵۷۰۰	۷۸۷۰	۱۶۹۰	۱۲۹۰	۳/۶۶	۱۱۴	۸۲/۵	۹۹۹۰	۴۵۵	۰/۵/۶
Pit-14	۱۹۱۰۰	۸۳۰۰۰	۴۹۹۰۰	۱۴۸۰۰	۷۳۷۰	۱۶۳۰	۱۲۳۰	۶/۶۲	۱۰۸	۴۷/۵	۹۶۲۰	۴۲۹	۷۹/۵
Pit-15	۱۰۵۰۰	۴۶۴۰۰	۲۷۰۰۰	۸۲۸۰	۳۹۶۰	۸۸۱	۶۷۷	۱/۴۰	۶۰	۴۶/۳	۵۰۹۰	۲۳۳	۳۳/۳
Pit-18	۱۶۲۰۰	۷۲۶۰۰	۴۰۸۰۰	۱۲۴۰۰	۵۶۶۰	۱۲۷۰	۱۰۱۰	۵/۰۳	۹/۸۹	۶۹/۴	۷۴۰۰	۳۴۳	۹۲/۴
Pit-19	۶۳۶۰۰	۲۹۱۰۰	۱۷۱۰۰	۵۳۵۰	۲۲۳۰	۵۳۰	۴۱۵	۵/۲۴	۹/۳۶	۳/۲	۳۰۰۰	۱۳۹	۱۹/۲
Pit-20	۸۵۶۰۰	۳۸۶۰۰	۲۲۶۰۰	۷۲۰۰	۳۲۹۰	۷۳۶	۵۶۸	۶/۳۱	۱/۵۰	۰/۴/۳	۴۲۶۰	۱۹۳	۸۱/۲
Pit-23	۱۱۲۰۰	۵۱۵۰۰	۲۸۰۰۰	۸۶۳۰	۳۹۹۰	۸۶۷	۶۹۸	۳۹	۱/۶۲	۳۹/۳	۵۰۵۰	۲۳۵	۴۱/۳
Pit-24	۱۴۲۰۰	۶۴۱۰۰	۳۵۱۰۰	۱۰۷۰۰	۴۹۶۰	۱۱۱	۸۶۹	۵/۴۸	۷/۷۷	۰/۴/۴	۶۴۱۰	۲۹۶	۱۸/۴
Pit-25	۷۶۱۰۰	۳۳۸۰۰	۲۰۳۰۰	۶۲۸۰	۲۹۷۰	۶۵۹	۴۹۸	۱/۲۹	۶/۴۳	۷۳/۲	۳۸۰۰	۱۷۱	۵۹/۲
Pit-27	۱۹۷۰۰	۸۵۱۰۰	۴۸۳۰۰	۱۴۶۰۰	۷۴۰۰	۱۶۲۰	۱۱۹۰	۲/۰۷	۱۰۴	۴۱/۵	۹۴۴۰	۴۱۶	۵۷/۵
Pit-28	۲۱۴۰۰	۹۶۸۰۰	۵۲۱۰۰	۱۵۸۰۰	۷۲۸۰	۱۶۴۰	۱۲۶۰	۲/۶۱	۱۱۲	۵۴/۵	۹۵۷۰	۴۲۸	۰/۳/۶
Pit-29	۲۱۲۰۰	۹۳۵۰۰	۵۰۹۰۰	۱۵۴۰۰	۷۲۳۰	۱۶۲۰	۱۲۳۰	۴/۰۷	۱۱۰	۶۱/۵	۹۵۴۰	۴۲۰	۸۶/۵
Pit-30	۲۰۹۰۰	۹۱۳۰۰	۵۱۲۰۰	۱۵۴۰۰	۷۵۹۰	۱۶۸۰	۱۲۵۰	۵/۸۰	۱۱۱	۵۷/۵	۹۹۳۰	۴۳۱	۰/۱/۶
Pit-33	۱۰۲۰۰	۴۶۶۰۰	۲۵۴۰۰	۷۸۲۰	۲۶۷۰	۷۹۵	۶۱۶	۳۵	۲/۰۴	۲۴/۳	۴۶۶۰	۲۱۲	۹۱/۲
Pit-34	۹۶۴۰۰	۴۳۵۰۰	۲۴۶۰۰	۷۴۹۰	۳۵۲۰	۷۶۱	۵۹۰	۹/۳۳	۹/۵۱	۰/۶/۳	۴۴۵۰	۱۹۹	۹۵/۲
Pit-35	۱۱۹۰۰	۵۲۶۰۰	۲۸۱۰۰	۸۶۳۰	۴۰۸۰	۸۹۷	۶۹۳	۱/۳۸	۴/۶۱	۴۷/۳	۵۲۰۰	۲۳۷	۴۱/۳
Pit-36	۱۵۶۰۰	۷۰۱۰۰	۲۷۳۰۰	۱۱۴۰۰	۵۴۵۰	۱۱۹	۹۱۳	۸/۴۲	۸/۷۹	۲/۳/۴	۷۰۲۰	۳۱۲	۳/۴
Pit-37	۱۵۰۰۰	۶۸۲۰۰	۳۶۰۰۰	۱۱۰۰۰	۵۰۴۰	۱۱۲۰	۸۷۷	۱/۴۳	۶/۷۷	۱۷/۴	۶۵۳۰	۲۹۶	۳۱/۴
Pit-38	۱۷۶۰۰	۷۸۶۰۰	۴۳۰۰۰	۱۲۹۰۰	۶۲۶۰	۱۳۷۰	۱۰۳۰	۶/۴۸	۹۰	۰/۹/۴	۸۰۷۰	۳۵۳	۸۲/۴
Pit-39	۲۲۴۰۰	۹۷۸۰۰	۵۲۵۰۰	۱۵۸۰۰	۷۷۷۰	۱۷۰۰	۱۲۶۰	۴/۰۶	۱۱۰	۳۷/۵	۱۰۱۰۰	۴۳۳	۸۵/۵
Pit-40	۱۹۵۰۰	۸۶۱۰۰	۴۵۷۰۰	۱۳۸۰۰	۶۶۰۰	۱۴۷۰	۱۱۰۰	۳/۰۰	۱/۹۶	۹۴/۴	۸۶۵۰	۳۷۶	۱۱/۵
Pit-41	۲۱۱۰۰	۹۴۴۰۰	۴۷۲۰۰	۱۴۴۰۰	۶۶۱۰	۱۴۷۰	۱۱۳۰	۱/۰۱	۹/۹۸	۰/۱/۵	۸۷۴۰	۳۷۹	۷۷/۵
Pit-42	۲۴۲۰۰	۱۰۷۰۰	۵۵۳۰۰	۱۶۹۰۰	۷۸۵۰	۱۷۶۰	۱۳۳۰	۷/۰۹	۱۱۷	۷۴/۵	۱۰۳۰۰	۴۴۷	۳/۶
Pit-43	۱۳۹۰۰	۶۱۷۰۰	۲۳۲۰۰	۱۰۰۰۰	۵۰۴۰	۱۰۷۰	۸۰۱	۵/۴۰	۵/۶۹	۰/۲/۴	۶۳۲۰	۲۷۵	۶۸/۳
Pit-45	۱۲۵۰۰	۵۵۵۰۰	۳۱۳۰۰	۹۳۹	۴۶۹۰	۱۰۰۰	۷۰۵	۳۵	۲/۸۵	۴۳/۳	۵۹۴۰	۲۵۹	۵۱/۳
Pit-46	۱۸۰۰۰	۷۹۳۰۰	۴۳۳۰۰	۱۳۰۰۰	۶۴۴۰	۱۳۹۰	۱۰۴۰	۱/۴۴	۹۰	۴۲/۴	۸۲۹۰	۳۵۷	۸۵/۴
Pit-47	۳۰۲۰۰	۱۴۲۰۰	۹۳۸۰	۲۹۵۰	۱۱۶۰	۲۷۷	۲۰۶	۱/۱۰	۸/۱۷	۲/۱	۱۶۴۰	۳۷۰	۰/۳/۱
Pit-48	۱۷۴۰۰	۷۸۳۰۰	۴۰۲۰۰	۱۲۲۰۰	۵۹۹۰	۱۲۸۰	۹۸۸	۵/۴۷	۷/۸۶	۴۲/۴	۷۵۶۰	۳۳۵	۸۵/۴
Pit-49	۱۲۷۰۰	۶۱۳۰۰	۲۲۴۰۰	۹۹۰۰	۴۷۷۰	۱۰۳۰	۷۹۲	۷/۳۸	۹/۶۸	۶۹/۳	۶۰۶۰	۲۷۰	۷۷/۳
Pit-50	۱۲۷۰۰	۵۷۷۰۰	۲۹۴۰۰	۹۰۸۰	۴۲۹۰	۹۰۷	۷۲۱	۶/۳۶	۱/۶۳	۵۱/۳	۵۴۳۰	۲۴۲	۴۷/۳
UEC	۶۴	۴۰	۲۶	۱/۷	۵/۴	۸۸۰/۰	۸/۳	۵/۳	۳/۲	۸/۰	۳۲/۰	۶۴/۰	۳۳/۰

جدول ۲ عیار عناصر نادر خاکی در آبرفت (گرم در تن) به همراه میانگین عیار عناصر در پوسته‌ی فوقانی.

REE	Ce	La	Nd	Pr	Sm	Eu	Gd	Dy	Er	Ho	Lu	Tb	Tm
Pit-1	۹۹۲/۱۴	۷۵۳/۶	۸۷۲/۳	۱۸۹/۱	۷۲۵/۰	۱۲۸/۰	۵۸۹/۰	۱۰۲/۰	۰۰۶/۰	۰۰۹/۰	۰۰۱/۰<	۰۳۶/۰	۰۰۱/۰<
Pit-2	۶۹۸/۱۸	۵۱۰/۸	۷۵۶/۴	۴۵۲/۱	۸۷۳/۰	۱۵۳/۰	۶۹۵/۰	۱۲۵/۰	۰۰۸/۰	۰۱۱/۰	۰۰۱/۰	۰۴۳/۰	۰۰۱/۰
Pit-3	۷۸۱/۱۹	۹۴۰/۸	۸۹۴/۴	۴۹۰/۱	۸۹۰/۰	۱۵۷/۰	۷۰۸/۰	۱۲۸/۰	۰۰۸/۰	۰۱۱/۰	۰۰۱/۰	۰۴۴/۰	۰۰۱/۰
Pit-4	۵۴۷/۴۵	۳۸۳/۲۰	۱۸۴/۱۱	۴۰۵/۳	۰۵۶/۲	۳۵۹/۰	۶۰۱/۱	۲۸۴/۰	۰۱۶/۰	۰۲۵/۰	۰۰۱/۰	۰۹۹/۰	۰۰۱/۰
Pit-5	۸۳۶/۲۲	۹۱۵/۹	۹۴۳/۵	۷۷۳/۱	۱۵۰/۱	۱۹۶/۰	۸۹۸/۰	۱۵۲/۰	۰۰۸/۰	۰۱۳/۰	۰۰۱/۰	۰۵۴/۰	۰۰۱/۰
Pit-6	۸۳۴/۳۱	۰۳۳/۱۴	۰۰۷/۸	۴۳۶/۲	۵۱۱/۱	۲۶۰/۰	۱۶۵/۱	۲۰۵/۰	۰۱۱/۰	۰۱۸/۰	۰۰۱/۰	۰۷۲/۰	۰۰۱/۰
Pit-7	۲۲۹/۲۵	۲۳۵/۱۱	۷۲۰/۶	۰۴۱/۲	۲۸۹/۱	۲۲۵/۰	۰۱۹/۱	۱۷۴/۰	۰۱۰/۰	۰۱۵/۰	۰۰۱/۰	۰۶۱/۰	۰۰۱/۰
Pit-8	۸۸۷/۲۰	۳۱۸/۹	۶۱۳/۵	۷۱۳/۱	۰۶۷/۱	۱۸۴/۰	۸۳۷/۰	۱۴۵/۰	۰۰۸/۰	۰۱۳/۰	۰۰۱/۰	۰۵۰/۰	۰۰۱/۰
Pit-9	۲۶۷/۱۶	۳۱۳/۷	۳۴۳/۴	۳۱۵/۱	۸۱۲/۰	۱۴۰/۰	۶۳۹/۰	۱۱۱/۰	۰۰۶/۰	۰۱۰/۰	۰۰۱/۰	۰۳۸/۰	۰۰۱/۰
Pit-10	۷۸۳/۷	۴۷۹/۳	۲۲۴/۲	۶۸۶/۰	۴۰۸/۰	۰۷۳/۰	۳۱۹/۰	۰۵۴/۰	۰۰۳/۰	۰۰۵/۰	۰۰۱/۰<	۰۱۹/۰	۰۰۱/۰<
Pit-11	۹۱۷/۱۱	۴۵۲/۵	۹۵۷/۲	۹۰۹/۰	۵۵۵/۰	۰۹۷/۰	۴۳۱/۰	۰۷۶/۰	۰۰۴/۰	۰۰۷/۰	۰۰۱/۰<	۰۲۶/۰	۰۰۱/۰<
Pit-12	۶۶۷/۸	۷۰۲/۳	۳۷۵/۲	۶۹۶/۰	۴۹۰/۰	۰۸۳/۰	۳۸۵/۰	۰۵۹/۰	۰۰۳/۰	۰۰۵/۰	۰۰۱/۰<	۰۲۱/۰	۰۰۱/۰<
Pit-13	۷۴۴/۳۰	۲۸۳/۱۳	۶۲۰/۷	۳۰۹/۲	۴۷۰/۱	۲۴۹/۰	۱۵۸/۱	۱۹۰/۰	۰۱۰/۰	۰۱۷/۰	۰۰۱/۰	۰۶۷/۰	۰۰۱/۰
Pit-14	۸۱۶/۵۰	۰۸۲/۲۲	۲۷۶/۱۳	۹۳۸/۳	۵۵۹/۲	۴۳۴/۰	۹۶۱/۱	۳۲۷/۰	۰۱۷/۰	۰۲۹/۰	۰۰۱/۰	۱۱۴/۰	۰۰۲/۰
Pit-15	۲۹۶/۱۲	۴۳۳/۵	۱۶۲/۳	۹۷۰/۰	۵۹۶/۰	۱۰۳/۰	۴۶۴/۰	۰۷۹/۰	۰۰۵/۰	۰۰۷/۰	۰۰۱/۰<	۰۲۷/۰	۰۰۱/۰<
Pit-18	۶۸۰/۱۵	۰۲۷/۷	۹۴۹/۳	۲۰۰/۱	۷۱۶/۰	۱۲۳/۰	۵۴۸/۰	۰۹۸/۰	۰۰۵/۰	۰۰۹/۰	۰۰۱/۰<	۰۳۳/۰	۰۰۱/۰<
Pit-19	۴۶۲/۹	۳۲۹/۴	۵۴۴/۲	۷۹۶/۰	۴۴۶/۰	۰۷۹/۰	۳۴۷/۰	۰۶۲/۰	۰۰۴/۰	۰۰۵/۰	۰۰۱/۰<	۰۲۱/۰	۰۰۱/۰<
Pit-20	۱۸۹/۱۲	۴۹۶/۵	۳۶۰/۳	۰۲۵/۱	۶۰۷/۰	۱۰۵/۰	۴۶۸/۰	۰۸۱/۰	۰۰۴/۰	۰۰۷/۰	۰۰۱/۰<	۰۲۷/۰	۰۰۱/۰<
Pit-23	۸۰۱/۱۴	۸۰۶/۶	۷۰۰/۳	۱۴۱/۱	۶۶۷/۰	۱۱۵/۰	۵۲۷/۰	۰۹۲/۰	۰۰۵/۰	۰۰۸/۰	۰۰۱/۰<	۰۳۱/۰	۰۰۱/۰<
Pit-24	۹۴۶/۳۰	۹۶۹/۱۳	۶۴۹/۷	۳۳۲/۲	۳۹۷/۱	۲۴۲/۰	۰۸۱/۱	۱۸۹/۰	۰۱۱/۰	۰۱۷/۰	۰۰۱/۰	۰۶۵/۰	۰۰۱/۰
Pit-25	۷۶۵/۱۲	۶۷۰/۵	۴۰۵/۳	۰۵۳/۱	۶۳۷/۰	۱۱۱/۰	۴۹۸/۰	۰۸۴/۰	۰۰۵/۰	۰۰۷/۰	۰۰۱/۰<	۰۲۹/۰	۰۰۱/۰<
Pit-27	۷۴۷/۱۹	۵۳۰/۸	۸۴۲/۴	۴۶۴/۱	۹۴۶/۰	۱۶۲/۰	۷۴۲/۰	۱۱۹/۰	۰۰۶/۰	۰۱۰/۰	۰۰۱/۰	۰۴۲/۰	۰۰۱/۰
Pit-28	۵۰۰/۳۵	۰۵۸/۱۶	۶۴۳/۸	۶۲۱/۲	۵۸۸/۱	۲۷۲/۰	۲۰۸/۱	۲۰۹/۰	۰۱۰/۰	۰۱۹/۰	۰۰۱/۰	۰۷۱/۰	۰۰۱/۰
Pit-29	۲۲۲/۲۳	۶۹۶/۱۴	۰۰۰/۸	۴۲۱/۲	۴۹۹/۱	۲۵۵/۰	۱۵۲/۱	۱۹۳/۰	۰۰۹/۰	۰۱۷/۰	۰۰۱/۰	۰۶۶/۰	۰۰۱/۰
Pit-30	۶۴۷/۳۹	۳۲۰/۱۷	۷۱۳/۹	۹۲۱/۲	۸۸۴/۱	۳۱۹/۰	۴۴۰/۱	۲۳۷/۰	۰۱۱/۰	۰۲۱/۰	۰۰۱/۰	۰۸۲/۰	۰۰۱/۰
Pit-33	۰۴۲/۱۴	۴۱۵/۶	۴۹۷/۳	۰۷۷/۱	۶۴۲/۰	۱۰۹/۰	۵۰۵/۰	۰۸۵/۰	۰۰۵/۰	۰۰۷/۰	۰۰۱/۰<	۰۲۹/۰	۰۰۱/۰<
Pit-34	۹۷۰/۱۹	۰۱۱/۹	۰۹۶/۵	۰۵۲/۱	۹۲۲/۰	۱۵۸/۰	۷۲۹/۰	۱۲۲/۰	۰۰۷/۰	۰۱۱/۰	۰۰۱/۰	۰۴۱/۰	۰۰۱/۰
Pit-35	۶۱۶/۱۹	۸۳۵/۸	۶۳۲/۴	۴۲۳/۱	۸۵۷/۰	۱۴۸/۰	۶۷۳/۰	۱۱۴/۰	۰۰۶/۰	۰۱۰/۰	۰۰۱/۰	۰۳۹/۰	۰۰۱/۰
Pit-36	۲۲۴/۲۵	۳۳۴/۱۱	۰۳۱/۶	۸۴۳/۱	۱۳۵/۱	۱۹۲/۰	۸۸۱/۰	۱۴۸/۰	۰۰۷/۰	۰۱۳/۰	۰۰۱/۰	۰۵۰/۰	۰۰۱/۰
Pit-37	۱۷۷/۱۴	۴۴۶/۸	۴۰۲/۳	۰۴۰/۱	۶۱۷/۰	۱۰۶/۰	۴۷۶/۰	۰۸۳/۰	۰۰۴/۰	۰۰۷/۰	۰۰۱/۰<	۰۲۸/۰	۰۰۱/۰<
Pit-38	۸۴۷/۲۴	۰۹۶/۱۱	۰۷۱/۶	۸۲۱/۱	۱۳۹/۱	۱۹۳/۰	۸۸۴/۰	۱۴۵/۰	۰۰۷/۰	۰۱۳/۰	۰۰۱/۰	۰۵۰/۰	۰۰۱/۰
Pit-39	۱۶۳/۲۴	۰۵۵/۱۰	۶۶۳/۵	۷۰۴/۱	۰۸۹/۱	۱۸۳/۰	۸۳۸/۰	۱۳۶/۰	۰۰۶/۰	۰۱۲/۰	۰۰۱/۰	۰۴۷/۰	۰۰۱/۰
Pit-40	۵۲۳/۱۳	۹۷۱/۵	۱۶۹/۳	۹۵۷/۰	۶۰۰/۰	۱۰۲/۰	۴۵۸/۰	۰۷۶/۰	۰۰۳/۰	۰۰۷/۰	۰۰۱/۰<	۰۲۶/۰	۰۰۱/۰<
Pit-41	۲۷۷/۳۱	۹۹۳/۱۳	۹۹۶/۶	۱۳۵/۲	۲۹۶/۱	۲۱۸/۰	۹۸۰/۰	۱۶۷/۰	۰۰۸/۰	۰۱۵/۰	۰۰۱/۰	۰۵۶/۰	۰۰۱/۰
Pit-42	۸۸۲/۴۳	۴۰۲/۱۹	۰۲۸/۱۰	۰۶۴/۳	۸۶۸/۱	۳۱۹/۰	۴۲۳/۱	۲۴۱/۰	۰۱۱/۰	۰۲۱/۰	۰۰۱/۰	۰۸۱/۰	۰۰۱/۰
Pit-43	۵۱۶/۲۱	۰۵۱/۹	۱۳۹/۵	۰۵۸/۱	۹۷۸/۰	۱۶۶/۰	۷۸۰/۰	۱۲۴/۰	۰۰۶/۰	۰۱۱/۰	۰۰۱/۰	۰۴۳/۰	۰۰۱/۰
Pit-45	۳۸۰/۲۵	۲۶۹/۱۱	۳۵۵/۶	۹۰۷/۱	۲۰۶/۱	۲۰۳/۰	۹۵۲/۰	۱۵۳/۰	۰۰۷/۰	۰۱۳/۰	۰۰۱/۰	۰۵۳/۰	۰۰۱/۰
Pit-46	۲۴۰/۶۸	۰۶۳/۳۰	۴۱۵/۱۶	۹۲۸/۴	۱۴۳/۳	۵۲۷/۰	۴۴۱/۲	۳۹۴/۰	۰۱۷/۰	۰۳۴/۰	۰۰۲/۰	۱۳۵/۰	۰۰۲/۰
Pit-47	۳۵۰/۴	۰۴۵/۲	۳۵۱/۱	۴۲۵/۰	۲۳۶/۰	۰۴۰/۰	۱۶۷/۰	۰۳۰/۰	۰۰۱/۰	۰۰۳/۰	۰۰۱/۰<	۰۱۰/۰	۰۰۱/۰<
Pit-48	۹۷۶/۱۸	۰۵۳۹/۸	۳۸۴/۴	۳۳۱/۱	۸۲۴/۰	۱۴۰/۰	۶۵۳/۰	۱۰۸/۰	۰۰۵/۰	۰۰۹/۰	۰۰۱/۰<	۰۳۷/۰	۰۰۱/۰
Pit-49	۷۸۳/۹	۳۷۷/۴	۳۱۴/۲	۷۰۷/۰	۴۳۳/۰	۰۷۴/۰	۳۴۱/۰	۰۵۷/۰	۰۰۳/۰	۰۰۵/۰	۰۰۱/۰<	۰۱۹/۰	۰۰۱/۰<
Pit-50	۴۸۸/۱۶	۴۹۱/۷	۸۱۷/۳	۱۷۹/۱	۷۰۵/۰	۱۱۸/۰	۵۵۷/۰	۰۹۴/۰	۰۰۵/۰	۰۰۸/۰	۰۰۱/۰<	۰۳۱/۰	۰۰۱/۰<
UEC	۶۴	۳۰	۲۶	۱/۷	۰۵/۴	۸۸/۰	۸/۳	۰۵/۳	۳/۲	۸/۰	۳۲/۰	۶۰/۰	۳۳/۰



شکل ۲ نمودار بهنجارسازی عناصر نادر خاکی نسبت به کندریت، (الف) در آبرفت و (ب) در مونازیت.

آبرفت‌های منطقه بهشدت تابع حضور مونازیت در این آبرفت‌هاست و به احتمال زیاد هیچ کانی دیگری تمرکز دهنده‌ی عناصر نادر خاکی نیست.

برای ترسیم نقشه‌های هم عیار مونازیت از عمق‌های مختلف و شناسایی بیهنجاری‌ها نخست باید توزیع داده‌ها بررسی شوند. شکل ۴، توزیع داده‌ها را نشان می‌دهد؛ توزیع داده‌های خام (شکل ۴ الف) بهنجار نبوده و دارای چولگی داشت. حاصل لگاریتم داده‌ها، شکل ۴ ب ترسیم شده که باز هم با داده‌های بهنجاری روبرو نشده و توزیع داده‌ها دارای چولگی منفی است. بنابراین از روش باکس-کاکس [۱۰] استفاده شد. داده‌ها با استفاده از فرمول زیر تبدیل شده است:

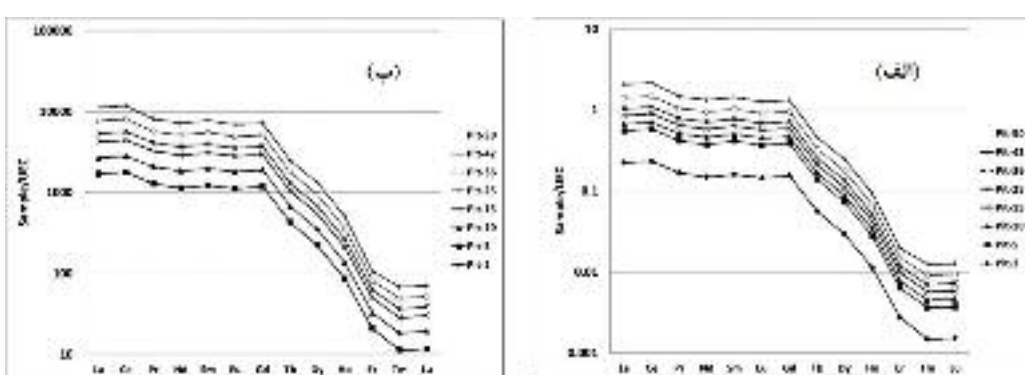
$$y_i = \begin{cases} \frac{x_i^\lambda - 1}{\lambda} & \lambda \neq 0 \\ \log(x_i) & \lambda = 0 \end{cases} \quad i = 1, 2, \dots, N$$

که در آن λ داده‌های جدید تولید شده، x داده‌های اصلی، λ ضریب باکس-کاکس است و برای محاسبه‌ی آن از نرم افزار Minitab استفاده شده و مقدار آن $\lambda = 0.5$ به دست آمد. شکل ۴ ج، تبدیل باکس-کاکس را نشان می‌دهد و شکل نشان می‌دهد که داده‌ها به خوبی بهنجار شده‌اند.

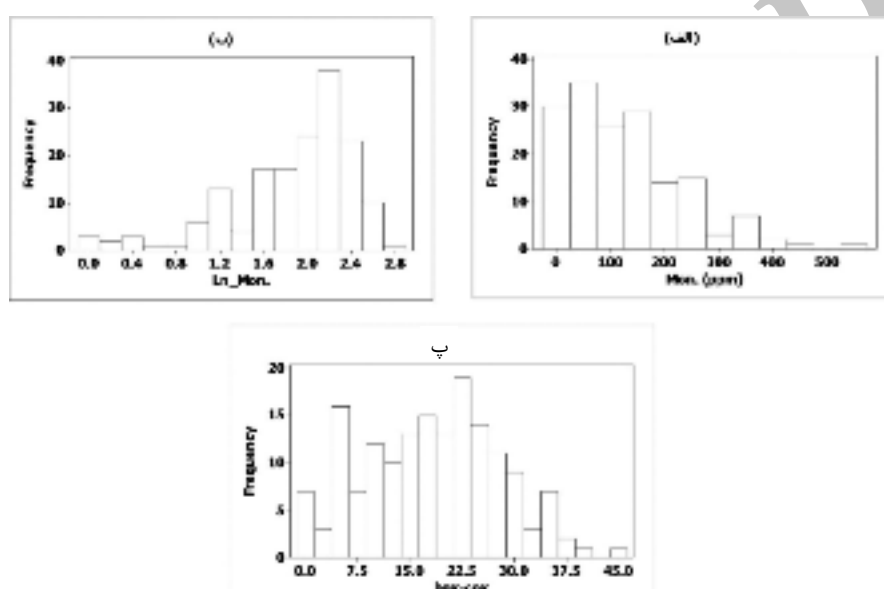
شکل ۵، نمودار احتمال داده‌ها را نشان می‌دهد. چنانکه از شکل پیداست تبدیل باکس-کاکس (شکل ۵ ج) داده‌ها را بسیار بهتر از داده‌های لگاریتمی (شکل ۵ ب) و داده‌های خام (شکل ۵ الف) بهنجار کرده است.

شکل ۳ (الف)، مقدار بهنجارسازی عناصر نادر خاکی در آبرفت نسبت به مقدار عناصر در پوسته‌ی فوقانی را نشان می‌دهد. عناصر نادر خاکی سبک روندی نسبتاً خطی با شیب تقریبی صفر داشت، در نمونه‌های ۵۰ و ۴۵ مقدار عناصر نادر خاکی کمی بیشتر از مقدار پوسته‌ی فوقانی و نمونه ۳۶، مقداری بسیار شبیه به مقدار عناصر در پوسته فوقانی دارد. عناصر نادر خاکی سنگین‌تر با شیب تند روند کاهشی گرفته و تهی‌شدگی شدیدی دارند. در شکل ۳ (ب)، که نمودار بهنجارسازی عناصر نادر خاکی در مونازیت نسبت به مقدار آن در پوسته‌ی فوقانی است، روند توزیع بسیار شبیه به شکل ۳ (الف) است با این تفاوت که مقدار بهنجارسازی بسیار بیشتر است.

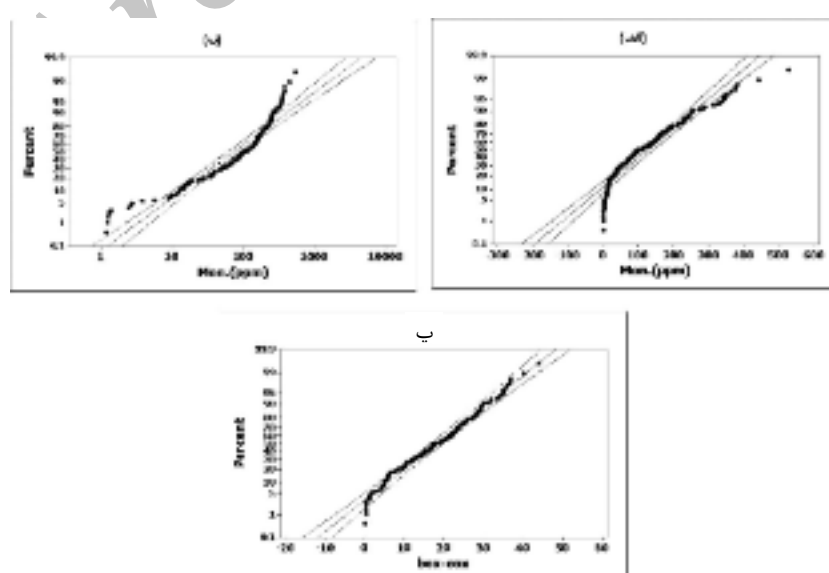
از مطالع گفته شده می‌توان گفت که مقدار عناصر نادر خاکی در نمونه‌ی آبرفت‌های مروست نسبت به مقدار عناصر در پوسته‌ی فوقانی تهی‌شدگی دارد و فقط در دو نمونه‌ی ۴۲ و ۵۰ این مقدار کمی غنی‌شدگی نشان می‌دهد. بنابراین این منطقه در نگاه اول از نظر عناصر نادر خاکی فقیر بوده و یا برابر با مقدار پوسته‌ی فوقانی است اما بدون در نظر گرفتن کانی‌شناسی نمی‌توان به این نتیجه رسید که عناصر نادر خاکی در مونازیت‌ها نسبت به مقدار عناصر در پوسته‌ی فوقانی غنی‌شدگی خوبی نشان می‌دهد و این مقدار برای تمامی عناصر نادر خاکی سبک روند هموار داشته و غنی‌شدگی بسیار بیشتری نسبت به عناصر نادر خاکی سنگین نشان می‌دهد. بنابر شکل‌های ۲ و ۳، می‌توان گفت که مقدار عناصر نادر خاکی در



شکل ۳ مقدار بهنجارسازی عناصر نادر خاکی در آبرفت به میانگین پوسته‌ی فوقانی (الف) و مقدار عناصر نادر خاکی در مونازیت به میانگین پوسته‌ی فوقانی (ب).



شکل ۴ نمودارهای داده‌های خام (الف)، داده‌های لگاریتمی و داده‌های تبدیل یافته به روش باکس-کاکس (پ).

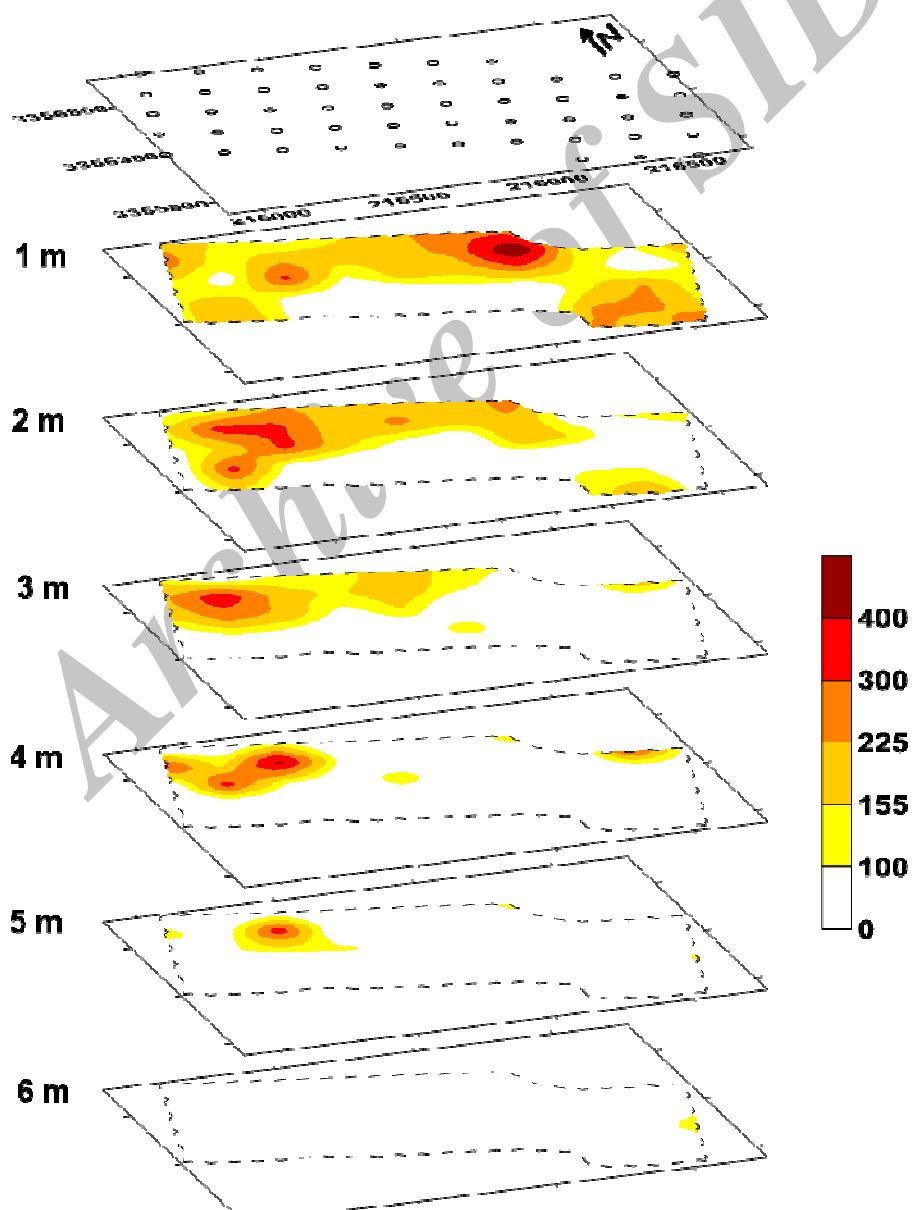


شکل ۵ نمودار احتمال توزیع داده‌های خام (الف)، داده‌های لگاریتمی (ب) و داده‌های تبدیل یافته باکس-کاکس (پ).

مختلف از ۱ تا ۶ متری نشان داده شد. هر چه به سمت عمق حرکت کنیم گسترش بیهنجاری‌ها - به دلیل کمتر شدن ضخامت آبرفت - کمتر می‌شود به طوری که بیهنجاری به صورت شبیدار به سمت غرب کاسته می‌شود. در عمق یک متری بیهنجاری شدید با گسترش زیاد در قسمت شرقی- مرکزی دیده می‌شود و این تنها بیهنجاری قوی مشاهده شده در این منطقه است. از سطوح ۲ تا ۵ متری از شدت و گسترش بیهنجاری‌ها کاسته می‌شود تا عمق ۶ متری که در این عمق هیچ بیهنجاری‌ای مشاهده نمی‌شود.

برای ترسیم منحنی هم عیار مونازیت مقادیر $\bar{x} + 0.5s$ - $\bar{x} + s$ - $\bar{x} - \bar{x} + 0.5s$ - $\bar{x} + 2s$ - $\bar{x} + 1.5s$ - $\bar{x} + 2s$ - $\bar{x} + s$ - $\bar{x} + 1.5s$ و $\bar{x} - \bar{x} + 0.5s$ که به ترتیب به معنای کمتر از مقدار زمینه، بیهنجاری ضعیف، بیهنجاری نسبتاً ضعیف، بیهنجاری نسبتاً خوب، بیهنجاری خوب، و بیهنجاری شدید است (\bar{x} مقدار میانگین و s انحراف استاندارد است) بنابراین با تبدیل معکوس باکس- کاکس به ترتیب مقادیر <100 ، $100-155$ ، $155-225$ ، $225-300$ ، $300-400$ و >400 برای آن در نظر گرفته می‌شود.

در شکل ۶، نقشه‌ی هم عیار مونازیت در سطوح عمیق



شکل ۶ مقاطع افقی توزیع بیهنجاری‌های مونازیت در عمق‌های از ۱ تا ۶ متر.

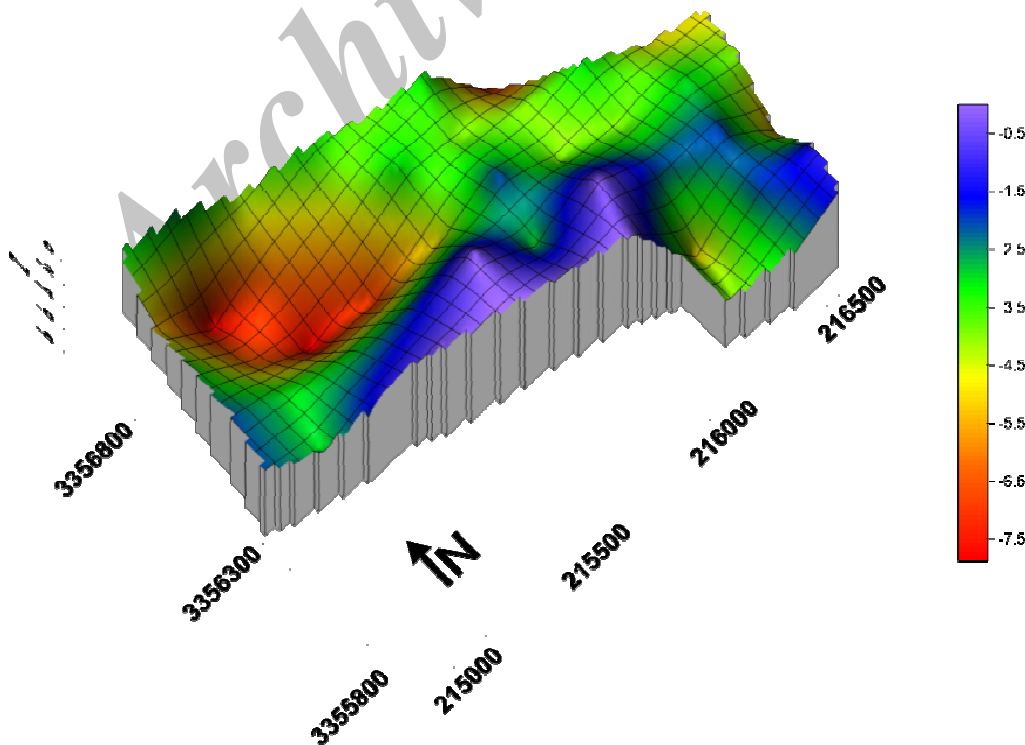
منطقه دارد و به احتمال زیاد هیچ کانی دیگری حاوی عناصر نادر خاکی در آبرفت‌ها مشاهده نمی‌شود. در ثانی بیهنجاری‌های مشاهده شده از نظر شدت و گسترش به عمق آبرفت وابسته است.

نتیجه گیری

با توجه به آنالیز داده‌های به دست آمده، و نیز جدول‌ها، نمودارها و شکل‌های گستره‌ی مورد بررسی می‌توان گفت: خاستگاه عناصر نادر خاکی کانی مونازیت است که مقدار غنی‌شدگی عناصر نادر خاکی سبک در آن بسیار بیشتر از عناصر نادر خاکی سنگین است. خاستگاه اصلی مونازیت سنگ‌های رسوبی تریاس بالایی-ژوراسیک پایینی بوده که شامل واحدهای شیلی، شیل‌های سیاه و شیل‌های آهکی حاوی گرگهای مونازیت است و استخراج مونازیت از آبرفت‌ها مقرن بصرفه‌تر از شیل‌ها است. عیار عناصر نادر خاکی در آبرفت برای عناصر سبک بسیار شبیه مقدار آن در پوسته‌ی فوقانی است و برای عناصر نادر خاکی سنگین کمتر از پوسته‌ی فوقانی است، بنابراین در نگاه اول این منطقه از نظر عناصر نادر خاکی نسبت به مقدار میانگین پوسته‌ی فوقانی تهی شدگی دارد.

شکل ۷، نقشه‌ی سه بعدی سنگ کف را نشان می‌دهد. چنانکه از شکل پیداست عمیق‌ترین قسمت‌ها (بیشترین ضخامت آبرفت) مربوط به بخش غربی منطقه است یعنی همانجایی که بیشترین و عمیق‌ترین بیهنجاری‌ها موجود بوده‌اند. به طور کلی گسترش و عمق بیهنجاری‌ها کاملاً با ضخامت آبرفت بیشتر است گسترش بیهنجاری در آنجا بیشتر است و این در حالی است که لیتولوژی تغییری نمی‌کند. دلیل زیاد بودن مقدار مونازیت احتمالاً این است که در مناطقی که شیب سنگ کف زیاد بوده اصولاً محلی برای قرار گرفتن کانه سنگین نیست ولی در مناطقی که شیب آرام دارند یا شکل گودالی گرفته‌اند (مانند قسمت غربی)، غنی‌شدگی مونازیت در آنجا رخ می‌دهد. در شکل ۷، رنگ‌های سرخ تا سبز با گستره‌ی بیهنجاری‌های مشاهده شده همخوانی دارد و قسمت‌هایی که آبی هیچ‌گونه بیهنجاری ای مشاهده نشده است (هرگز از سنگ بستر در چاهک‌ها نمونه‌برداری نشد و نمونه‌ها فقط از آبرفت است).

با توجه به مطالب بالا نخست باید گفت که وجود عناصر نادر خاکی ارتباط مستقیمی با حضور مونازیت در آن



شکل ۷ نقشه‌ی سه بعدی عمق سنگ کف بر حسب متر.

Watershed", BuMines, OFR 34-91 (1991) 67 pp.

[4] Alipour-Asll M., Mirnejad H., Milodowski E.A., "Occurrence and paragenesis of diagenetic monazite in the upper Triassic black shales of the Marvast region, south yazd", Iran, Miner Petrol 104 (2012) 197- 210.

[5] Soheili M., "Geology map of Anar, 1:250,000 sheet", Ministry of Industry & Mines, geological and mineral survey of Iran (1981).

[6] علی پور م، "اکتشاف مونازیت و عنصر نادر خاکی در آبرفت های جنوب مروست (منطقه باختری)"، سازمان زمین شناسی و اکتشافاتمعدنی کشور (۱۳۸۳).

[7] علی پور م، رسا ا، مهرپرتو م، خاکزاد ا، "ترکیب و توزیع مونازیت در شیلهای تربیس بالای مروست (بیزد- ایران)"، علوم زمین، زمستان ۸۵، سال شانزدهم، شماره ۶۲.

[8] Taylor S.R., McClenann S.M., "The Continental Crust: Its Composition and Evolution", Oxford, UK: Blackwell Scientific Publications (1985).

[9] Wakita H., Rey P., Schmitt R.A., Abundances of the 14 rare earth elements and 12 other elements in Apollo 12 samples. Pages 1319–1329 in *Proceedings of the Second Lunar Science Conference*. Edited by A.A. Levinson. Cambridge, MA: MIT Press (1971).

[10] Box G.E.P., Cox D.R., "An analysis of transformation", Journal of the royal statistical society, series B, 26 (1964) 211- 252.

نمودارهای بهنجار شدهی عنصر نادر خاکی نسبت به کندریت و پوسته فوکانی و نیز عنصر نادر خاکی در مونازیت نسبت به کندریت و پوسته فوکانی نشان از روند یکسان توزیع عنصر می دهد و این ثابت می کند که تنها کانی حاوی عنصر نادر خاکی در منطقه مونازیت است و هیچ کانی دیگری حاوی عنصر نادر خاکی نیست.

نقشهی پراکندگی مونازیت در منطقه از عمق ۱ تا ۶ متری نشان می دهد که شدیدترین و گسترده ترین بیهنجاری ها در عمق یک متری مشاهده می شود و با زیاد شدن عمق به دلیل رسیدن به سنگ کف از گسترش و شدت بیهنجاری ها کاسته می شود.

ضخامت آبرفت یا عمق سنگ کف ارتباط مستقیمی با گسترش بیهنجاری های مشاهده شده دارد و عمیق ترین بیهنجاری ها در قسمت غربی منطقه دیده می شود، که ضخامت آن بیهنجاری ۵ متر است.

مراجع

[۱] علی پور م، رسا ا، مهرپرتو م، باباخانی ع، "اندازه گیری مونازیت و کانی های همراه به روش تغليظ کانی های سنگین در پلاسرهای مروست (بیزد- ایران)"، علوم زمین، تابستان ۸۵ سال پانزدهم، شماره ۶۰ (الف)).

[2] Seal B., Verplanck P., Gosen B. V., Grosz A., "Geologic and Environmental Characteristics of Rare Earth Element Deposit type found in the United States", Scientific Investigations Report, April 4 (2012) USGS.

[3] Barker J.C., "Investigation of Tin-Rare Earth Element Placers in the Ray River